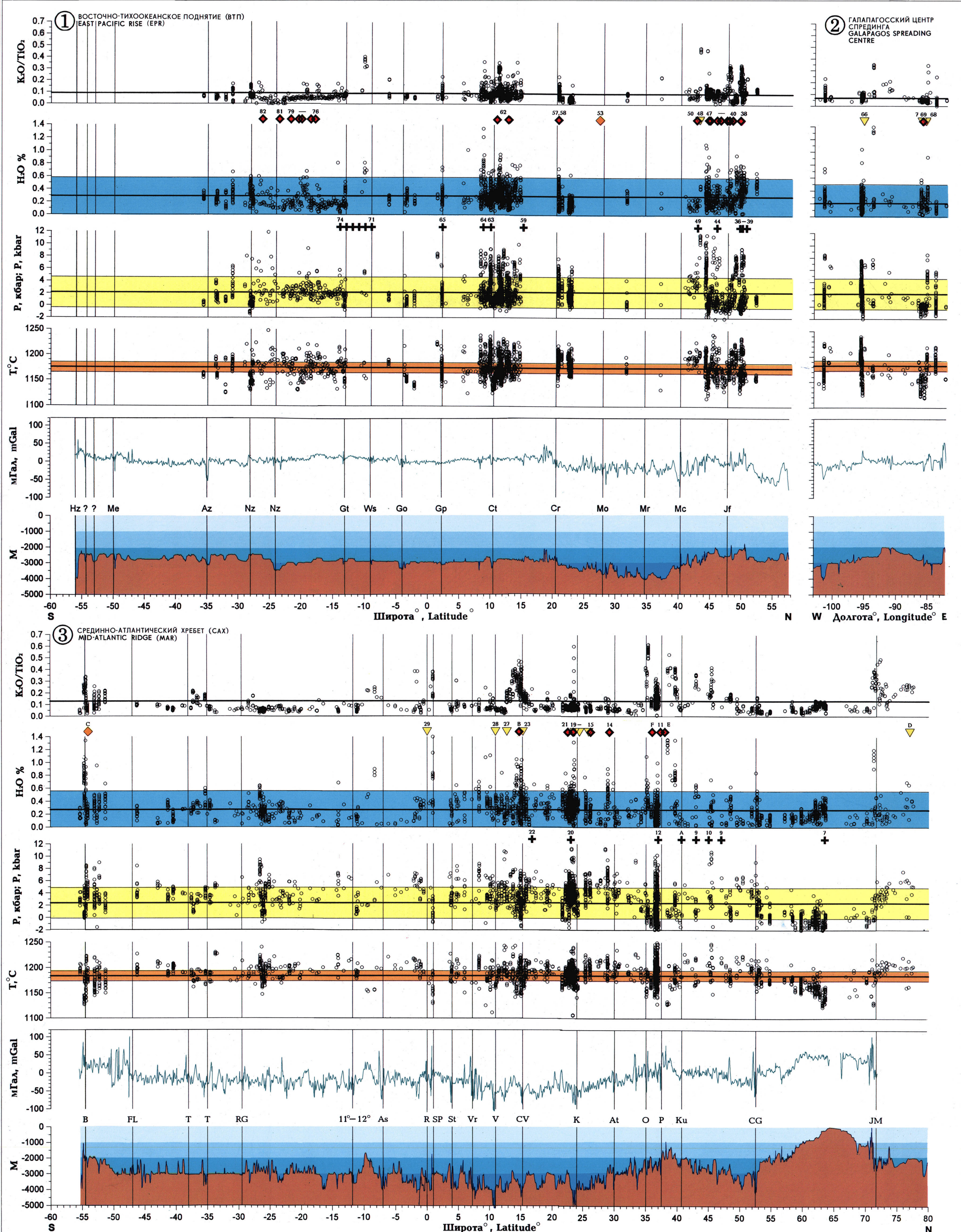


ПЕТРОЛОГИЯ ВОСТОЧНО-ТИХООКЕАНСКОГО ПОДНЯТИЯ. Сравнение осевых зон

PETROLOGY OF THE EAST PACIFIC RISE. Comparison of axial zones



Профили рельефа получены по данным [Global relief (CD-ROM, NGDS, No. 1093A27001)] по матрице глубин по 5-ти минутной сетке. Профили силы тяжести рассчитаны по (Sandwell D.T. & Smith W., 1992) по 2-х минутной сетке. Значения температуры ($T \pm 10^\circ\text{C}$), давления ($P \pm 2.5 \text{ кбар}$) и содержания воды ($\text{H}_2\text{O} \pm 0.3\%$) для котектической кристаллизации толентовых базальтов рассчитаны по методике Данишевского (Danyushevsky and others, 1996). Исходный материал включает более 14 000 составов закалочных стекол из Каталога Смитсонианского Института, США, бака (Niu and others, 1993), Н.М.Сущевской и др. (1990–95) и наших оригинальных данных. Горизонтальные линии соответствуют средним значениям параметров и величине доверительного интервала. Вертикальные линии соответствуют положению главных трансформных разломов на ВТП: Hz—Хизена, Me—Менард, Az—Агасси, Nz—примыкание хребта Наска, Gt—Гарретт, Ws—Уилкс, Go—Гофар, Gp—Галапагос, Ct—Клиппертон, Cr—Кларен, Mo—Молокан, Mg—Меррей, Mc—Мендосино, Jf—Хребет Хуан де Фука; на САХ: B—Буве, FL—Фолкланд, T—Тристан-да-Кунья, RG—Риу-Гранди, 11°–12°—разлом 11°–12°, As—Вознесения, R—Романе, SP—Сан-Паулу, St—Страхова, Vr—Вернадского, V—Вима, CV—Зеленого Мыса, K—Кейн, At—Атлантик, O—Океанограф, P—Пику, Ku—Курчатова, CG—Чарли Гиббса, JM—Ян-Майен.

◆ Действующие гидротермальные источники.

◆ Отложения массивных сульфидных руд.

◆ Прожилки и цемент с сульфидами в измененных породах.

+ Металлоносные осадки, инкрustации Fe, Mn гидроокислами.

Цифры над символами по: Rona P.A. & Scott S.D., 1993. Буквы над символами: "A" по: Дмитриев и др., 1970; "B" по: Батуев и др., 1995; "C" по: Симонов В.А., Колобов В.Ю., 1995; "D" по: Cherkashev G.A. and others, 1997; "E" по: German C.R. and others, 1996; "F" по: German C.R., 1996.

The relief profiles plotted by [Global relief (CD-ROM, NGDS, No. 1093A27001)] on the depth net of 5 minutes. Gravity anomalies profiles calculated by Sandwell D.T. & Smith W., (1992) data on the net of 2 minutes. Temperature ($T \pm 10^\circ\text{C}$), pressure ($P \pm 2.5 \text{ kbar}$) and water content ($\text{H}_2\text{O} \pm 0.3\%$) for the tholeiite basalt cotectic crystallization calculated by method of Danyushevsky (Danyushevsky and others, 1996). The initial data includes about 14 000 analyses of abyssal glasses from Smithsonian Catalog, USA, collection (Niu and others, 1993), N.M.Сущевская и др. (1990-95) and our original data. The horizontal lines correspond to average value of petrological parameters and their error bars. The vertical lines indicate location of the main transform fracture zones for EPR: Hz—Heezen, Me—Menard, Az—Agassiz, Nz—Nazca junction, Gt—Garrett, Ws—Wilkes, Go—Galapagos, Ct—Clipperton, Cr—Clarion, Mo—Molokai, Mg—Merrey, Mc—Mendocino, Jf—Juan de Fuca Ridge. MAR: B—Bouvet, FL—Falkland, T—Tristan da Cunha, RG—Rio Grande, 11°–12°—11°–12°FZ, As—Ascension, R—Romance, SP—Saint Paul, St—Strakhov, Vr—Vernadsky, V—Vema, CV—Cape Verde, K—Kane, At—Atlantis, O—Oceanographer, P—Pico, Ku—Kurchatov, CG—Charlie Gibbs, JM—Jan Mayen.

◆ Active chimney. ◆ Massive sulphide ores.

+ Metalliferous sediments, Fe/Mn hydroxides crustulation.

The figures above symbols by Rona P.A. & Scott S.D., 1993; The letters above symbols: "A" by Дмитриев и др., 1970; "B" by Батуев и др., 1995; "C" by Симонов В.А., Колобов В.Ю., 1995; "D" by Cherkashev G.A. and others, 1997; "E" by German C.R. and others, 1996; "F" by German C.R., 1996.